

Template size learning for text recognition problem

Bogdan Savchynskyy, Sergii Olefirenko
IRTC ITS, Kiev
www.irtc.org.ua/image

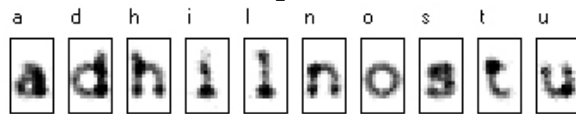


Back

Close

Introduction

Character templates:



$$\begin{aligned} A &= A_0 \bigcup \{\kappa\}, \\ E &= \{e_a \mid a \in A\}, \\ w(e_a) &= w_a \end{aligned}$$

Image and result of its recognition:

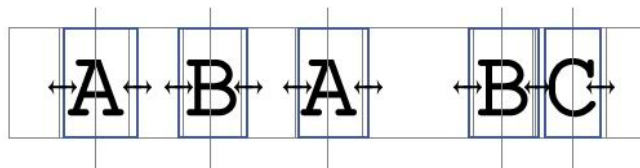
And has thou slain

$\bar{s} = \text{"and_has_t_hou_sl_ai_n"}$

And has thou slain

$\bar{c} = \text{"and has thou slain"}$

Widths tuning:



Back

Close

The problem of image x recognition:

$$\bar{s}^* = \arg \min_{\bar{s}} f(x, \bar{s}, E)$$

Set of recognition parameters:

$$\{\bar{w}, E\} = \{w_a, E_a \mid a \in A\}$$

Parameters learning problem in general form:

$$(\bar{w}^*, E^*) = \arg \max_{\bar{w}, E} P(x, \bar{c}, \bar{w}, E)$$



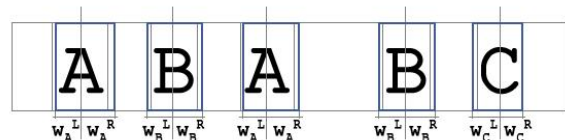
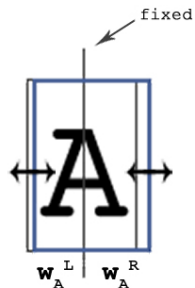
1. Template learning: $x, \bar{c}, \bar{w}^0 \rightarrow E$.
2. Image recognition: $x, \bar{c}, E \rightarrow \bar{s}^*$.
3. Width learning: $x, \bar{c}, \bar{s}^*, \bar{w}^0 \rightarrow \bar{w}$.



Back

Close

Width learning problem formulation



a) set of possible widths:

$$w_a^{(L,R)} = w_a^{0(L,R)} \pm i, \quad i = \overline{0, n}$$

b) $\bar{s}^*, \bar{w} \rightarrow \bar{s}$ construction

c) $\bar{s} \rightarrow E$ construction — by averaging

Problem formulation:

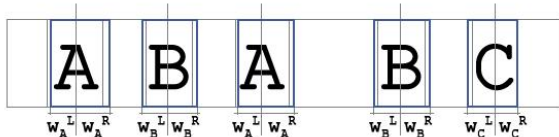
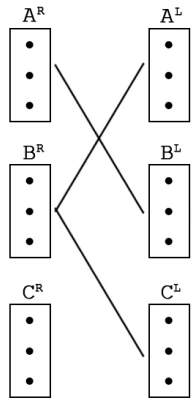
$$\bar{w}^* = \arg \min_{\bar{w} \in \bar{W}} f(x, \bar{s}(\bar{s}^*, \bar{w}), E(\bar{s}))$$



Back

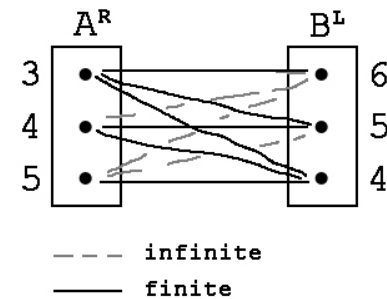
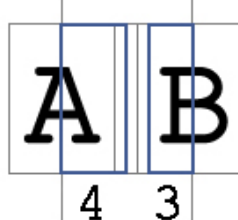
Close

Problem solution

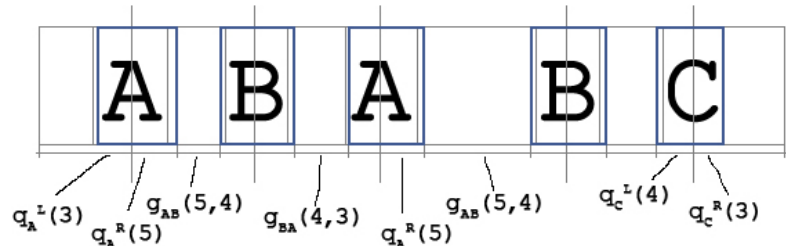


Labeling problem:

- set of vertices — $V = \{a^L, a^R \mid a \in A_0\}$
- labels — width variations
- $\forall \{a_n, a_{n+1}\} \in \bar{c} \quad \exists \varepsilon (a_n^R \rightarrow a_{n+1}^L)$



Label and edge penalties:



Labeling penalty:

$$G(\bar{k}) = \sum_{v \in V} q_v(k(v)) + \sum_{v, v' \in V} g_{vv'}(k(v), k'(v'))$$

$$G(\bar{k}) = f(x, \bar{s}(\bar{s}^*, \bar{w}(\bar{k})), E(\bar{s}))$$

Problem formulation:

$$\bar{w}^* = \bar{k}^* = \arg \min_{\bar{k}} G(\bar{k}).$$

This is submodular ($\min, +$) problem and it can be solved by MIN-CUT algorithm.



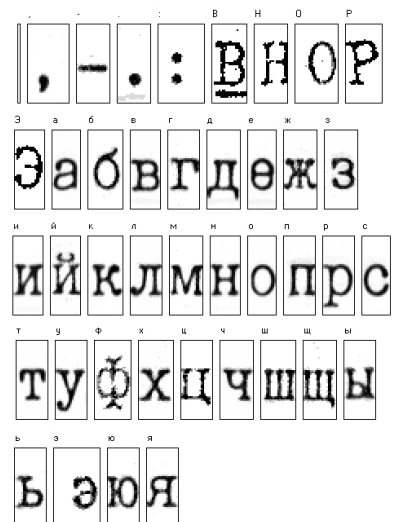
Back

Close

Example 1. Error rate — 0.7%

Открывает сборник тройка статей, посвященных предварительной обработке графических изображений: скелетизации векторизации и обработке графических изображений: скелетизации векторизации и устранению дефектов. Известно, что процедуры такого рода являются необходимым компонентом практически любой машинной обработки графического документа. Многим известно, что эти процедуры требуют большого объема вычислений, однако прочитавший эти работы узнает, что это вовсе не так. А именно, здесь описаны алгоритмы скелетизации и устранения дефектов, трудоемкость которых не зависит от толщины линий и размеров устраниемых дефектов и которые осуществляют обработку изображения в течение

Открывает сборник тройка статей, посвященных предварительной обработке графических изображений: скелетизации векторизации и обработке графических изображений: скелетизации векторизации и устранению дефектов. Известно, что процедуры такого рода являются необходимым компонентом практически любой машинной обработки графического документа. Многим известно, что эти процедуры требуют большого объема вычислений, однако прочитавший эти работы узнает, что это вовсе не так. А именно, здесь описаны алгоритмы скелетизации и устранения дефектов, трудоемкость которых не зависит от толщины линий и размеров устраниемых дефектов и которые осуществляют обработку изображения в течение



Back

Close

Example 2. Error rate – 0.8%

In addition to the central excitatory and inhibitory effects induced by the
In addition to the central excitatory and inhibitory effects induced by the

In addition to the central excitatory and inhibitory effects induced by the

somatic afferent activity itself, other excitatory descending influences have been
somatic afferent activity itself, other excitatory descending influences have been
somatic afferent activity itself, other excitatory descending influences have been

found to modify considerably the somatosympathetic reflexes. The most pro-
found to modify considerably the somatosympathetic reflexes. The most pro-

found to modify considerably the somatosympathetic reflexes. The most pro-
nounced inhibitory effects seem to originate from the medullary depressor area
nounced inhibitory effects seem to originate from the medullary depressor area

nounced inhibitory effects seem to originate from the medullary depressor area
older literature see 54). Direct electrical stimulation of the medullary depressor
older literature see 51). Indirect electrical stimulation of the medullary depressor

older literature see 51) Indirect electrical stimulation of the medullary depressor
area inhibits the early spinal as well as the late medullary somatosympathetic re-
area inhibits the early spinal as well as the late medullary somatosympathetic re-

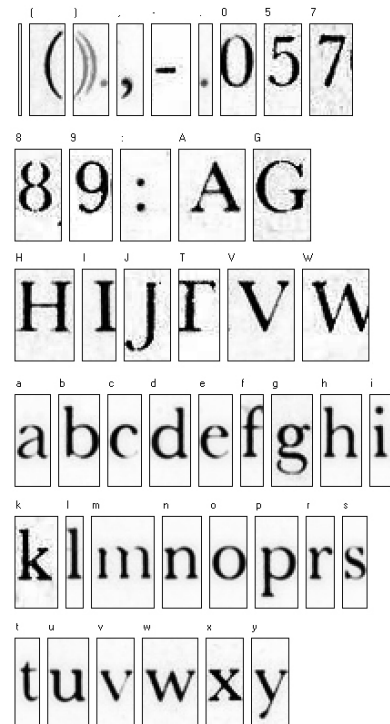
area inhibits the early spinal as well as the late medullary somatosympathetic re-
flex components, whereas activation of the medullary depressor area via barorecep-
flex components, whereas activation of the medullary depressor area via barorecep-

flex components, whereas activation of the medullary depressor area via barorecep-
tor afferents depresses only the late medullary reflex, and not the early spinal reflex
reflex components, whereas activation of the medullary depressor area via barorecep-

tor afferents depresses only the late medullary reflex, and not the early spinal reflex
for afferents depresses only the late medullary reflex, and not the early spinal reflex

by electrical stimulation of two well-defined areas in the medulla oblongata (155):
by electrical stimulation of two well defined areas in the medulla oblongata (155)..

by electrical stimulation of two well defined areas in the medulla oblongata (155).



Back

Close